

РОССИЙСКАЯ АКАДЕМИЯ НАУК

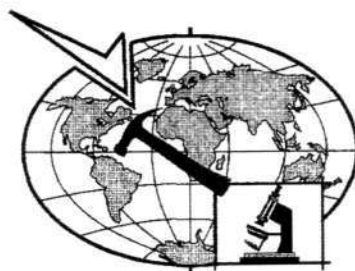
УРАЛЬСКОЕ ОТДЕЛЕНИЕ

ИНСТИТУТ ГЕОЛОГИИ И ГЕОХИМИИ
им. академика А.Н. Заварицкого

ЕЖЕГОДНИК-2016

Труды ИГГ УрО РАН
Выпуск 164

ISSN 0371-7291



Екатеринбург
2017

СОДЕРЖАНИЕ

ЕЖЕГОДНИК-2016. Тр. ИГГ УрО РАН. вып. 164, 2017

СТРАТИГРАФИЯ, ПАЛЕОНТОЛОГИЯ

- Диноцисты свиты Белогродни (Саратовское Поволжье)
О. Н. Васильева 3
- Водоросли и стратиграфия нижнего визе Боровской подзоны Тюменско-Кустанайского прогиба
Р. М. Иванова 9
- Краткая характеристика стратотипа каменск-уральского горизонта в разрезе Брод-Ключики (восточный склон Среднего Урала)
Н. А. Кучева 15
- Новые данные о биоте позднемелового морского бассейна Примугоджарья
Т. П. Малышкина 23
- Нижнефаменские брахиоподы стратотипа шамейского горизонта на восточном склоне Среднего Урала (разрез "Першино")
А. Г. Мизенс, Л. И. Мизенс 26
- Биостратиграфия и микрофауны верхней части фаменского яруса в разрезе "Першино" (восточный склон Среднего Урала)
Т. И. Степанова 31
- Комплексная характеристика зональных подразделений ассельского яруса по конодонтам
В. В. Черных 44

РЕГИОНАЛЬНАЯ ГЕОЛОГИЯ, ЛИТОЛОГИЯ, ГЕОТЕКТОНИКА

- Новые данные по стратиграфии и геологическому строению фундамента Колтогорской зоны центральной части Западно-Сибирской плиты
К. С. Иванов, Н. П. Костров, С. В. Берзин, А. З. Бикбаев, Н. В. Вахрушева, О. Э. Погромская, М. П. Снигирева, А. Е. Степанов 49
- Характер изменения ряда литохимических индикаторов обстановок и среды осадконакопления во временной окрестности котлинского кризиса (на примере Среднего Урала)
А. В. Маслов, Д. В. Гражданкин 53
- К реконструкции пород-источников сноса для тонкозернистых обломочных образований среднего и низов верхнего рифея Ишеримского и Башкирского антиклинориев
А. В. Маслов, Г. А. Петров, Ю. Л. Ронкин 58
- Характер изменения ряда литохимических индикаторов обстановок и среды осадконакопления во временной окрестности котлинского кризиса (на примере разрезов венда Подолии)
А. В. Маслов, В. Н. Подковыров, Д. В. Гражданкин 68
- Концентрации ряда тяжелых металлов в осадочном материале дрейфующих льдов некоторых районов Центральной и Западной Арктики
А. В. Маслов, В. П. Шевченко, Е. В. Белогуб, В. А. Бобров 76
- Песчаники и аргиллиты устькодинской свиты (верхний девон, восточный склон Среднего Урала): особенности состава и петрофонд
О. Ю. Мельничук 82

ПЕТРОЛОГИЯ, ГЕОХИМИЯ

- Изотопно-геохимические характеристики цирконов Кондёрского и Феклистовского клинопироксенит-дунитовых массивов (Хабаровский край, Россия)
И. Ю. Баданина, К. Н. Малич 88
- Новые данные о пермотриасовых базальтах из фундамента Западно-Сибирского нефтегазоносного мегабассейна: минералогия, геохимия, отношения изотопов Pb
С. В. Берзин, К. С. Иванов, М. В. Зайцева 93
- Состав и условия образования метаморфических пород ультраосновного состава в восточном экзо-

контакте Хабарнинского полиформационного габбро-гипербазитового массива <i>А. П. Бирюзова</i>	99
К вопросу о петрогеохимии вулканических пород кремнекислого состава из раннекаменноугольных отложений Магнитогорской зоны Южного Урала <i>Е. Н. Волчек, В. С. Червяковский</i>	104
Структурно-вещественные доказательства взаимодействия анкармитового и трахиандезитового расплавов в Магнитогорской вулканогенной зоне на Южном Урале <i>И. А. Готтман, Е. В. Пушкарев</i>	110
Зависимость последовательности кристаллизации минералов вулканитов от их структурной рыхлости <i>О. К. Иванов</i>	116
Геолого-петрографические и геохимические особенности гранитов крутореченского комплекса (Присалатимская зона, Северный Урал) <i>А. В. Коровко, Н. С. Бородина, Г. Ю. Шардакова, М. Д. Вишнякова, Л. И. Десятниченко</i>	120
Низкотемпературный Mg-Fe метасоматоз в карбонатных породах (на примере проявления Богряшка, Авзянский рудный район Башкортостана) <i>М. Т. Крупенин, С. В. Мичурин, А. А. Шарипова, А. А. Гараева, Д. А. Замятин, Т. Я. Гуляева, В. Г. Петрищева</i>	125
Некоторые особенности геохимии известняков пограничного интервала C_1/C_2 на востоке Урала <i>Г. А. Мизенс, С. А. Дуб, О. Ю. Мельничук</i>	132
Rb-Sr и Sm-Nd изотопные данные как индикаторы источников вещества щелочного карбонатитового магматизма (на примере комплексов Южного Урала и Среднего Тимана) <i>И. Л. Недосекова</i>	140
Источники рудной ниобиевой минерализации Ильмено-Вишневогорского миаскит-карбонатитового комплекса (Rb-Sr и Sm-Nd изотопные данные) <i>И. Л. Недосекова, Б. В. Беляцкий</i>	147
Источники рудной REE-Nb минерализации Булдымского карбонатит-ультрабазитового комплекса (Rb-Sr и Sm-Nd изотопные данные) <i>И. Л. Недосекова, Д. В. Елизаров, Е. Л. Кунаккузин</i>	152
Магматизм тиманид южной части Ляпинской структуры (Северный Урал): новые петрохимические и U-Pb изотопные данные <i>Г. А. Петров, Ю. Л. Ронкин, А. Гердес (A. Gerdes), А. В. Маслов</i>	156
U-Pb и Sm-Nd систематика габброидов дунит-клинопироксенит-габбрового комплекса Чистопского массива (Северный Урал) <i>Г. А. Петров, Ю. Л. Ронкин, П. А. Львов, А. В. Маслов</i>	161
Анкармиты Присакмаро-Вознесенской зоны на Южном Урале – геологическое положение и состав <i>Е. В. Пушкарев, А. В. Рязанцев, И. А. Готтман</i>	166
Габбро и долериты из фрагментов офиолитовой ассоциации Среднего Урала: Rb-Sr и $^{147}\text{Sm}-^{143}\text{Nd}$ изотопные ограничения <i>Ю. Л. Ронкин, И. В. Семенов</i>	176
Минералогические и геохимические признаки связи интрузивных и дайковых образований Ахуновского и Карагайского гранитных массивов (Южный Урал) <i>В. В. Холоднов, Е. С. Шагалов, Г. А. Каллистов, Е. В. Коновалова</i>	183
О количественной оценке степени частичного плавления ультрамафитов <i>И. С. Чащухин</i>	191
Поведение галогенов и серы в гидроксилсодержащих минералах из гранитоидов западного склона Среднего Урала как показатель состава потенциально рудообразующего флюида <i>Г. Ю. Шардакова, Д. А. Замятин</i>	193
МИНЕРАЛОГИЯ	
Состав аксессуарной хромовой шпинели из пермотриасовых базальтов фундамента Западно-Сибирской платформы <i>С. В. Берзин, К. С. Иванов</i>	199
О находке псевдорутила в базальтах доюрского основания Юган-Колтогорской зоны (ХМАО-Югра,	

Западная Сибирь) <i>Ю. В. Ерохин, К. С. Иванов</i>	204
Редкоземельные карбонаты в гранитоидах фундамента Нижнеуртовского свода (Урьевская площадь, ХМАО-Югра, Западная Сибирь) <i>Ю. В. Ерохин, В. В. Хиллер, К. С. Иванов</i>	207
Торианит из десилицированных пегматитов Липовского жильного поля (Средний Урал) <i>А. В. Захаров, Ю. В. Ерохин, И. А. Готтман</i>	211
Изменение химического состава минералов оливин-шпинель-пироповых вебстеритов Миндякского массива как отражение эволюции этих пород <i>Д. В. Кузнецов</i>	214
Цинксодержащий ставролит из кианитовых гнейсов Сысертского метаморфического комплекса (Средний Урал) <i>В. С. Пономарев</i>	219
МЕСТОРОЖДЕНИЯ ПОЛЕЗНЫХ ИСКОПАЕМЫХ	
Золото в мраморах Светлинского карьера (Южный Урал) <i>А. Ю. Кисин, В. В. Мурзин, М. Е. Притчин</i>	223
Эпигенетические преобразования хромшпинелида в процессе родингитизации и нефритизации на Агардагском проявлении золота (Южная Тува) <i>В. В. Мурзин, Д. А. Варламов, Д. А. Замятина</i>	227
Гранитный магматизм и промышленные генотипы кварцевых жил уфалейского метаморфического комплекса (Южный Урал) <i>В. Н. Огородников, Ю. А. Поленов, А. Н. Савичев</i>	232
К вопросу о полиформационном характере жил Березовского рудного поля <i>С. В. Прибавкин</i>	235
Термокриметрическое исследование включений минералообразующей среды в кварце и шеелите Кедровского месторождения вольфрама <i>С. В. Прибавкин, А. А. Гараева</i>	238
Геохимия таллия в рудах Воронцовского месторождения <i>М. Ю. Ровнушкин, О. Б. Азовскова</i>	241
Условия локализации золототеллуридной минерализации в южной части Тагильской мегазоны <i>Л. А. Санько, А. Е. Степанов, С. А. Рыльков</i>	244
Распределение редких и рассеянных элементов в жильных карбонатах Воронцовского золоторудного месторождения и Сафьяновского медноколчеданного месторождения <i>Е. И. Сорока, М. Е. Притчин, О. Л. Галахова</i>	249
Особенности состава и условий образования рудообразующих хромовых шпинелей южного участка месторождения Центральное (массив Рай-Из) <i>П. Б. Щиряев, Н. В. Вахрушева</i>	254
ГЕОХРОНОЛОГИЯ	
U-Pb возраст циркона из пород Крутихинского массива – возможного протолита части гранитов Адуйского массива (Средний Урал) <i>М. Д. Вишнякова, Н. С. Бородина, Г. Б. Ферштатер, Ф. Беа, П. Монтеро</i>	260
К вопросу об U-Pb возрасте цирконов из лейкогранитов Соколиного Камня Верхисетского массива (Средний Урал) <i>Е. А. Зинькова, П. Монтеро, Ф. Беа</i>	264
К вопросу датирования плюмазитовых лейкогранитов Челябинского массива <i>Г. А. Каллистов, Т. А. Осипова</i>	269
U-Pb-SHRIMP-датирование пирохлоров Потанинского и Буддымского ниобиевых месторождений (Ильмено-Вишневогорский комплекс, Ю. Урал) <i>И. Л. Недосекова, Б. В. Беляцкий</i>	273
In situ U-Pb изотопная систематика минерала группы эшинита и сосуществующего с ним монацита <i>Ю. Л. Ронкин, В. В. Мурзин, А. Гердес (A. Gerdes), Д. А. Варламов</i>	277

МЕТОДОЛОГИЯ И МЕТОДЫ ИССЛЕДОВАНИЙ

Использование программного комплекса SIROQUANT для количественного фазового рентгенографического анализа: результаты межлабораторных испытаний ФГБУ "ВИМС" <i>Т. Я. Гуляева, А. Д. Рянская, О. Л. Галахова</i>	282
К методике определения U-Pb-возраста и анализа Lu-Hf-изотопной системы циркона методом LA-ИСП-МС <i>М. В. Зайцева, С. Л. Вотяков</i>	284
JPD-анализ зерен циркона как основа для количественного изучения их текстуры и использования при геохронологических построениях <i>Д. А. Замятин, С. Л. Вотяков, Ю. В. Щапова</i>	290
Возможности метода атомно-эмиссионной спектроскопии с индуктивно связанной плазмой (ИСП-АЭС) при анализе горных пород и минералов <i>Д. В. Киселева, Н. В. Чередниченко, Л. К. Дерюгина, М. А. Пинигина</i>	299
Определение содержания РЗЭ в цирконе методом электронно-зондового рентгеноспектрального микроанализа <i>А. В. Михеева, Д. А. Замятин, С. Л. Вотяков</i>	303
Об иерархии природных систем (к вопросу классификации форм нахождения химических элементов в природе) <i>М. П. Покровский</i>	308
К методике идентификации и исследования локальных особенностей структуры минералов-концентраторов редкоземельных и радиоактивных элементов по данным рамановской спектроскопии <i>Ю. В. Щапова, С. Л. Вотяков, Е. А. Панкрушина, Д. А. Замятин</i>	315
ХРОНИКА	
Литология для "школьников" <i>С. А. Дуб, О. Ю. Мельничук</i>	329
АВТОРСКИЙ УКАЗАТЕЛЬ	334